

京都大学工学部

赤井浩一

"

足立紀尚

建設省

岡野真久

1. はじめに

近年土質材料の構成方程式の確立が強調され、幾つか研究が行はれてはいるが、粘性土に対して二つの部面からの流れに大別される。

第一は時間依存性を考慮してレオロジーモデルを用いる手法で、村山と柴田や Christensen & Wu など Eyring の構造粘性を適用したものや、Ostwald's Power Law を用いた Bardem の研究がある。また、これに属する現象論的なものは Singh & Mitchell, 柴田と輕部, Bardem, Walker などがある。

第二は平衡時の応力-ひずみ関係の確立を目的にしたもので、たとえば Roscoe 系統の研究は土質材料の実際の挙動に立って、エネルギー的考察を一部行ない、Drucker らによる弾-塑性体力学を応用して行なつたものである。我が国においては、柴田と輕部らの実験的研究を基盤に、太田らによって“ダイレクタンシー理論”と称する粘性土の構成方程式の説明が行はれていた。これらの理論では粘性土をひずみ硬化とダイレクタンシーを有する材料と考えている。

飽和粘性土の構成方程式は時間依存性を記述すべきであるという考え方によると、求められた構成方程式は上記の第一、第二のものと一般的に全く同じである。本研究は飽和粘性土に対するより一般的な構成方程式確立を目的として、ひずみ硬化性とダイレクタンシーをもつて、かつ時間依存性のある材料と考え、Roscoe らの研究を基盤として、Pergamenshchikov 弾-塑性体力学を適用したものである。

2. 弾-塑性体として土質材料の構成方程式

以下の議論のために、次の諸仮定をもとづき、Roscoe らの “Critical state Energy Theory” を拡張した。

- (1) 粘土は等方弾-塑性体であって、その応力 σ_{ij} の主応力軸とひずみ増分 de_{ij} の主軸は一致する。
- (2) 全ひずみ e_{ij} は弾性ひずみ e_{ij}^E と塑性ひずみ e_{ij}^P の和で表せられる。
- (3) loading surface が存在し、それは主応力空間で平均主応力軸に関して軸対称である。
- (4) Drucker らの非弾性体に対する安定性を満足する材料である。

以上により求めた結果を Roscoe らのもと、太田らによるものと比較して Table-1 である。この表で相互の比較が容易にできるが、以下二点が最も問題である重要な決定である。

- (1) 变形特性表示の適否； energy theory では消散エネルギーの表現であり、 dilatancy theory では stress-volumetric strain 関係である。
- (2) Normality rule 成立の可否である。

Table - 1

	Energy Theory			Dilatancy Theory (Ohta et al.)
	Original (Roscoe et al)	Modified (Roscoe Burland)	Extended	
Critical State	$\left(\frac{\sigma}{p}\right)_{\text{critical}} = M$	$\left(\frac{\sigma}{p}\right)_{\text{critical}} = M$	$\left(\frac{\sqrt{2J_2}}{\sigma_m'}\right)_{\text{critical}} = M^*$	$\left(\frac{T_{\text{oct}}}{\sigma_m'}\right)_{\text{critical}} = \frac{\lambda - K}{(1 + e_0)\mu}$
Dissipative Work Increment	$\delta W = p \cdot M \cdot \delta \varepsilon^P$	$\delta W = p \sqrt{(\delta \nu^P)^2 + (M \delta \varepsilon^P)^2}$	$dW = \sigma_m' M^* \sqrt{2J_2}$	
Stress-Plastic Strain-Relation	$\frac{\delta \nu^P}{\delta \varepsilon^P} = M - \frac{\sigma}{p}$	$\frac{\delta \nu^P}{\delta \varepsilon^P} = \frac{M^2 \gamma^2}{2\gamma}, \gamma = \frac{\sigma}{p}$	$d\nu^P = M^* - \frac{\sqrt{2J_2}}{\sigma_m'}$	$\frac{d\nu^P}{d\varepsilon^P_{\text{oct}}} = \pm \sqrt{\frac{\lambda + K}{(1 + e_0)\mu} \frac{T_{\text{oct}}}{\sigma_m'}}$
Plastic Volumetric Strain Increment	$\delta v^P = \frac{\lambda - K}{1 + e} \left\{ \frac{1}{M} d\left(\frac{\sigma}{p}\right) + \frac{dp}{p} \right\}$	$\delta v^P = \frac{\lambda - K}{1 + e} \left\{ \frac{2\gamma d\gamma}{M^2 \gamma^2} + \frac{dp}{p} \right\}$	$d\nu^P = \frac{\lambda - K}{1 + e} \left\{ \frac{1}{M^*} d\left(\frac{\sqrt{2J_2}}{\sigma_m'}\right) + \frac{d\sigma_m'}{\sigma_m'} \right\}$	$d\nu^P = \frac{\lambda - K}{1 + e} \frac{d\sigma_m'}{\sigma_m'}$ $+ \frac{1 + e_0}{1 + e} \mu d\left(\frac{T_{\text{oct}}}{\sigma_m'}\right)$
Loading Surface (Yield Loci)	$\frac{\sigma}{p} = -M \ln \frac{p}{p_0}$	$\frac{p}{p_0} = \frac{\gamma^2}{M^2 \gamma^2}$	$\frac{\sqrt{2J_2}}{\sigma_m'} = -M^* \ln \frac{\sigma_m'}{\sigma_m'}$	$\frac{T_{\text{oct}}}{\sigma_m'} = -\frac{\lambda - K}{(1 + e_0)\mu} \ln \frac{\sigma_m'}{\sigma_m'}$
State Boundary Surface	$\delta = \frac{Mp}{\lambda - K} (e_a - e - \lambda \ln p)$	$-(e_a - e) + \lambda \ln p \left(\frac{M^2 \gamma^2}{M^2 \gamma^2} \right)^{\frac{1}{2}}$	$\sqrt{2J_2} = \frac{M + \sigma_m'}{\lambda - K} (e_a - e - \lambda \ln \sigma_m')$	$e - e_0 + \lambda \ln \frac{\sigma_m'}{\sigma_m'}$ $+ (1 + e_0)\mu \frac{T_{\text{oct}}}{\sigma_m'} = 0$
Triaxial State	$\sigma_1' = \sigma_2' = \sigma_3'$ $\varepsilon_1 = \varepsilon_2 = \varepsilon_3$	$\rho = \frac{\sigma_1' + 2\sigma_3'}{3}$ $\delta = \sigma_1' - \sigma_3' $ $\delta \nu = \delta \varepsilon_1 + 2\delta \varepsilon_3$ $\delta \varepsilon = \frac{2}{3} \delta \varepsilon_1 - \delta \varepsilon_3 $ 用いた定数 $\lambda, K, M, M^*, \mu, \alpha$	$\sigma_m' = \frac{\sigma_1' + 2\sigma_3'}{3}$ $\sqrt{2J_2} = \sqrt{S_{ij} S_{ij}} = \sqrt{\frac{2}{3}} \sigma_1' - \sigma_3' $ $d\nu = d\varepsilon_1 + 2d\varepsilon_3$ $\sqrt{2J_2} = \sqrt{d\varepsilon_{ij}' d\varepsilon_{ij}'} = \frac{2}{3} d\varepsilon_1 - d\varepsilon_3 $ $S_{ij}' = \sigma_{ij}' - \frac{1}{3} \sigma_{kk} \delta_{ij}$ $d\varepsilon_{ij}' = d\varepsilon_{ij} - \frac{1}{3} d\sigma_{kk} \delta_{ij}$	$\sigma_m' = \frac{\sigma_1' + 2\sigma_3'}{3}$ $T_{\text{oct}} = \frac{\sqrt{2}}{3} \sigma_1' - \sigma_3' $ $d\nu = d\varepsilon_1 + 2d\varepsilon_3$ $\delta_{\text{oct}} = \frac{2\sqrt{2}}{3} d\varepsilon_1 - d\varepsilon_3 $

3. Pergyna の弾-粘塑性体

Pergyna は速度依存性の loading surface を考え、これを dynamic-loading function $f(\sigma_{ij}', \dot{\varepsilon}_{ij}^P)$ と称し、ひずみ硬化を有する平衡時の yield function $F(\sigma_{ij}', \dot{\varepsilon}_{ij}^P)$ (static yield surface) との関係を次式で与え。

$$F(\sigma_{ij}', \dot{\varepsilon}_{ij}^P) = \frac{f(\sigma_{ij}', \dot{\varepsilon}_{ij}^P)}{K^*} - 1 \quad (1)$$

ここで $K^* = \hat{K}^*(W^P) = \hat{K}^* \left(\int_0^{\dot{\varepsilon}_{ij}^P} \sigma_{ij}' d\varepsilon_{ij}^P \right)$ はひずみ硬化パラメーターであり、 $\dot{\varepsilon}_{ij}^P$ は粘塑性ひずみ成形である。また K は dynamic loading surface の凸性と strain rate vector との対応を

Normality 条件として、次の構成方程式を提案している。

$$\dot{\varepsilon}_{ij}' = \frac{\dot{\sigma}_{ij}'}{2G} + \frac{1-2\nu}{E} \sigma_m' \delta_{ij}' + \Gamma < \bar{\varepsilon}(F) > \frac{df}{d\sigma_{ij}'} \quad (2)$$

ここで E, ν, G は弾性定数であり、 Γ は粘性係数である。この記号 $< \bar{\varepsilon}(F) >$ は

$$< \bar{\varepsilon}(F) > = \begin{cases} 0 & , F \leq 0 \\ \bar{\varepsilon}(F) & , F > 0 \end{cases}$$

(1)式と(2)式から $I_2^P = \frac{1}{2} \dot{\varepsilon}_{kk}' \dot{\varepsilon}_{kk}'$ 定義すると dynamic loading function は

$$f(\sigma_{ij}', \dot{\varepsilon}_{ij}^P) = K^* (W^P) \left\{ 1 + \bar{\varepsilon}^{-1} \left[\left(\frac{I_2^P}{2} \right)^{\frac{1}{2}} \left(\frac{1}{2} \frac{df}{d\sigma_{kk}'} \right)^{-\frac{1}{2}} \right] \right\} \quad (3)$$

で与えられ、この式から dynamic loading surface はひずみ硬化とひずみ速度効果を有するところが明らかである。特別な場合として $\kappa \rightarrow \infty$ を与えると $f(\sigma_{ij}, E_{ij}^{DP}) = \kappa^*$ 、つまり $F(\sigma_{ij}, E_{ij}^{DP}) = 0$ となり inviscid の弾塑性体を表す。

4. 弾塑性体として土質材料の構成方程式

拡張した Energy Theory と Perzyna の弾塑性体力学にもとづいて、構成方程式の誘導を行なうが、用いる諸仮定とその帰結を以下に示す。

(1) dynamic loading surface が存在すると仮定し、(3)式と table-1 から次式で与えられる。

$$f_d = \sqrt{2J_2} + M^* \sigma_m' \ln \frac{\sigma_m'}{\sigma_{md}} = 0 \quad (4)$$

ここで σ_{md} はひずみ硬化とひずみ速度効果を考慮して $\kappa^* = \sqrt{2J_2}/\sigma_m' = 0$ と定めた σ_m' の値である。

(2) $f_d = 0$ に対する同一の粘塑性ひずみ状態に対する static loading surface の存在を仮定して次式で与えられるものとする。

$$f_s = \sqrt{2J_2} + M^* \sigma_m' \ln \frac{\sigma_m'}{\sigma_{my}} = 0 \quad (5)$$

ここで σ_{my} はひずみ硬化の程度を表すもので、 $\kappa^* = 0$ のときの σ_m' の値として与えられる。

(3) 関数 F は次のようく定義する。

$$F = \frac{\sqrt{2J_2}}{\sigma_m'} + M^* \ln \frac{\sigma_m'}{\sigma_{my}} = M^* \ln \frac{\sigma_{md}}{\sigma_{my}} \quad (6)$$

これは $f_s = 0$ から超過応力関数を考えられる。

(4) dynamic loading function (4)式のもとで flow rule が成立すると仮定すれば

$$\dot{E}_{ij}^{DP} = \gamma \langle \bar{\sigma}(F) \rangle \frac{\partial f_d}{\partial \sigma_{ij}} \quad , \quad \frac{\partial f_d}{\partial \sigma_{ij}} = (M^* - \frac{\sqrt{2J_2}}{\sigma_m'}) \frac{\delta_{ij}}{3} + \frac{\dot{\delta}_{ij}}{\sqrt{2J_2}}$$

$$\text{であるから} \quad \dot{E}_{ij}^{DP} = \gamma \langle \bar{\sigma}(F) \rangle \left[(M^* - \frac{\sqrt{2J_2}}{\sigma_m'}) \frac{\delta_{ij}}{3} + \frac{\dot{\delta}_{ij}}{\sqrt{2J_2}} \right] \quad (7)$$

(5) 静的平衡状態に近づくと $f_d = 0$ は $f_s = 0$ と一致するから table-1 の state boundary surface から応力経路は、その二次元表示として次式で与えられる。

$$\frac{\sqrt{2J_2}}{\sigma_{me}} = - \frac{\lambda M^*}{\lambda - \kappa} \frac{\sigma_m'}{\sigma_{me}} \ln \frac{\sigma_m'}{\sigma_{me}} \quad (8)$$

したがって等方圧密で、圧密圧力 σ_m' で与えられる initial loading surface は

$$f_i = \sqrt{2J_2} + M^* \sigma_m' \ln \left(\frac{\sigma_m'}{\sigma_{mo}} \right) = 0 \quad (9)$$

となる。

(6) 以上から求めた構成方程式は次式として求まる。

$$\dot{E}_{ij} = \frac{\dot{\delta}_{ij}}{2G} + \frac{\kappa}{1+\epsilon} \frac{\sigma_m'}{\sigma_m} \delta_{ij} + \gamma \langle \bar{\sigma}(F) \rangle \left[(M^* - \frac{\sqrt{2J_2}}{\sigma_m'}) \frac{\delta_{ij}}{3} + \frac{\dot{\delta}_{ij}}{\sqrt{2J_2}} \right] \quad (10)$$

ここで $\bar{\sigma}(F)$ の関数形は理論的・実験的より決定すべきものであり、(10)式の右辺第一項は以上で誘導で論理的には求められないが、 $F > 0$ の時は粘塑性変形に比較して無視できるが、 $F \leq 0$ の時を考慮すべきであると考えて加えておくべきである。

本理論の基本的考え方の微視的説明はいかんにかかわらず、土粒子骨格と水の二相系においては向げて水圧の発生、すなはち有効応力のものが Rate ではなく時間に依存するものとしていること

ある。したがって応力面(σ_{ij}' , σ_m')に求めた非排水三軸圧縮試験の有効応力経路は、ひずみ速度、増大とともに Roscoe の応力経路から離れ、また非排水クリープ試験では σ_m' はひずみ速度の減少、(ひずみの増大とともに)、ひずみ硬化の増大により $F(\sigma_{ij}', \epsilon_{ij}^{pp})$ の減少と σ_m' の減少による、とともに σ_m' -軸に平行に載荷直後の値から平衡状態に向って移動する。これは (10) 式において応力一定の条件で解くことに対応する。一方リラクゼーションに対する (10) 式において $\epsilon_{ij} = \text{const.}$ の応力について解くことで求まる。

すなはち、以上のこととはひずみ速度の影響によって、応力状態が (8) 式から離れ、そのひずみ硬化とひずみ速度に対する dynamic loading surface $f_d = 0$ 上にあることを意味する。 $\Rightarrow \therefore f_d = 0$ すなはち $F(\sigma_{ij}', \epsilon_{ij}^{pp})$ を決定に対し

ては、同一の σ_{ij}' 値に対して同一の $\sqrt{2J_2}$ の非弾性ひずみが生ずると仮定し、したがって静的応力経路上の、 σ_{ij}' に対する変更を static loading surface $f_s = 0$ が通るところとなることになり、ひずみ硬化の影響を導入する。Fig.-1 はクリープ試験に対する以上の考え方を図示したものである。

剛度 (F) を求めた後に再圧密して深草粘土を用いて、一段載荷下で非排水三軸クリープ試験を行った。

Fig.-2 はその結果求めた $F(\sigma_{ij}', \epsilon_{ij}^{pp})$ と軸ひずみ速度 $\dot{\epsilon}_{ij}$ の関係である。

半近似として $\sigma(F) = C \exp(\alpha F)$
とすれば

$$\dot{\epsilon}_{ij} = \frac{2}{3} (\dot{\epsilon}_1 - \dot{\epsilon}_3) = C' \exp(\alpha' \sigma_{ij}' - \sigma_{my}') \left(\frac{\sigma_m'}{\sigma_{my}} \right)^M$$

で与えられる Singh & Mitchell の式を含む。

参考文献

Pezyna, P. (1963), Proc. of Vibration Problems, Warsaw, No. 3, Vol. 4,
pp. 281-289

Roscoe, K. H. & Burland, J. B. (1968),
Engineering Plasticity, Cambridge
Univ. Press, pp. 539-609

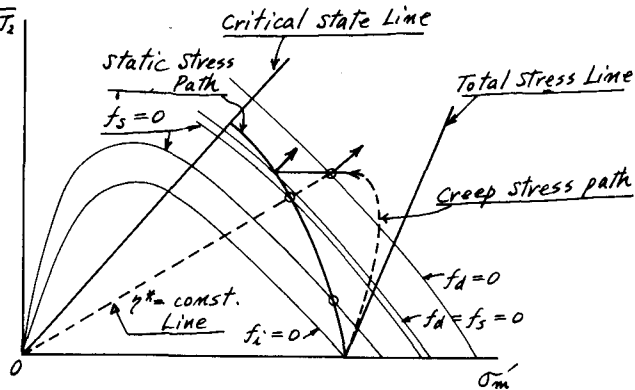
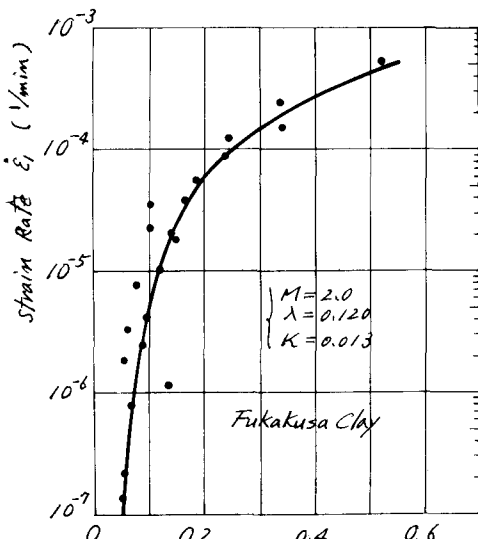


Fig. 1



$$F = \frac{\sqrt{2J_2}}{\sigma_m'} + M^* \ln \frac{\sigma_m'}{\sigma_{my}'} = \sqrt{\frac{2}{3}} \left(\frac{\sigma_{ij}' - \sigma_3'}{\sigma_m'} - M \ln \frac{\sigma_m'}{\sigma_{my}'} \right)$$

Fig. 2